

## تعیین پروفیل تغییرشکل طولی تونل‌های دارای نگهداری (SLDP) با روش عددی

علی‌حسین علی‌نژاد<sup>۱</sup>\*؛ رضا رحمان‌نژاد<sup>۲</sup>

- ۱- دانش‌آموخته کارشناسی ارشد مکانیک سنگ دانشگاه شهید باهنر کرمان  
۲- استاد دانشگاه شهید باهنر کرمان،

دریافت: ۱۳۹۵/۰۳/۱۱ پذیرش: ۱۳۹۵/۱۱

چکیده

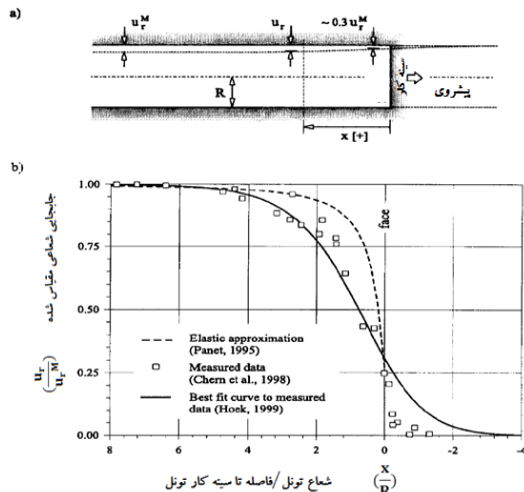
با توجه به اهمیت اینمی سازه‌های زیرزمینی، انتخاب مناسب پارامترهای نگهداری و تحلیل اندرکنش آن با زمین همواره یک مسئله مهم بشمار می‌رود. یکی از مؤلفه‌های مهم در طراحی تونل‌ها به روش همگرایی-همجواری منحنی پروفیل تغییر شکل طولی یا LDP است که بر اساس آن، موقعیت نصب نگهداری تعیین می‌شود. محققین زیادی جهت تعیین آن در حالت تونل فاقد نگهداری راه‌کارهای گوناگونی ارائه نموده‌اند.

چنانچه نگهداری در تونل نصب گردد، شکل منحنی مزبور در فاصله بدون نگهداری بین سینه‌کار و لبه نگهداری تغییر کرده و جایگایی کاهش می‌یابد که در این مورد تحقیقات بسیار محدودی صورت گرفته است. در این تحقیق روشی برای رسم نمودار LDP برای تونل دارای نگهداری یعنی (SLDP) در شرایط جامع‌تر نسبت به تحقیقات قبلی ارائه شده است. بدین منظور با استفاده از نرم‌افزار FLAC<sup>3D</sup> تونلی غیردایروی دارای پوشش بتنی در محیط الاستوپلاستیک برای بازه RMR بین ۴۰ تا ۷۰، ارتفاع رویاره ۱۰۰ الی ۳۰۰ مترو تحت تنشی‌های هیدروستاتیک و غیرهیدروستاتیک مدل‌سازی عددی شد. به عنوان پارامترهای متغیر نگهداری سختی آن و فاصله بدون نگهداری انتخاب شد. از داده‌های حاصل از مدل‌سازی عددی که با ترکیب حالت‌های مختلف از پارامترهای فوق حاصل شد، پروفیل تغییرشکل طولی تونل نگهداری شده (SLDP) رسم گردید و سپس با استفاده از محاسبات آماری، روابطی برای تعیین SLDP ارائه شد.

کلمات کلیدی: تنش‌های غیر هیدروستاتیک، پوشش بتنی، سختی نگهداری، تنش غیر هیدروستاتیک، SLDPLDP، FLAC<sup>3D</sup>RMR

کلمات کلیدی

جلوی تونل در فاصله حدود چهار برابر شعاع آن شروع و در هر فاصله  $x$  از سینه‌کار مقدار آن  $u_r$  است. هنگامی که فاصله  $x$  به میزان کافی بزرگ باشد، جابجایی شعاعی به حداقل مقدار خود  $u_r^{\max}$  در فاصله حدود هشت برابر شعاع تونل می‌رسد. همچنین در سینه‌کار مقدار جابجایی‌ها حدود ۳۰٪ جابجایی‌های کل است [۳].



شکل ۱: (a) جابجایی شعاعی تونل در مجاورت سینه‌کار، (b) پروفیل تغییرشکل طولی و بهترین برازش بر آن [۳]

پنلت<sup>۴</sup> (۱۹۹۵) رابطه زیر را بین جابجایی شعاعی و فاصله از پس از نصب نگهداری شکل منحنی پروفیل طولی و مقادیر جابجایی آن تغییر می‌کند. بنابراین، پس از نصب نگهداری استفاده از منحنی LDP منطقی نبوده و باید تأثیر سختی و فاصله نصب نگهداری را در رفتار این منحنی احتساب نمود. بدین منظور ساتیریوس واردآکوس<sup>۷</sup> در سال ۲۰۰۷، با تصحیح منحنی LDP برای تونل‌های دایروی نگهداری شده به رابطه زیر برای تعیین میزان تغییرشکل سینه‌کار در محیط الاستوپلاستیک و تحت شرایط تنش هیدرولاستاتیک دست یافت [۵]:

$$\frac{u(0)}{u(\infty)} = p_1 \left( \frac{R_p}{R} \right) + p_2 \quad (3)$$

که پارامترهای  $p_1$  و  $p_2$  وابسته به تنش‌های برجا و مقاومت فشاری نامحصور زمین بوده و  $(R_p/R)$  شعاع پلاستیک نرمالیزه شده تونل بدون نگهداری است.

جهانپوری و رحمان نژاد (۱۳۹۰) روشی برای رسم پروفیل تغییرشکل طولی تونل دارای نگهداری در محیط الاستیک ارائه

## ۱- مقدمه

در حین حفاری تونل‌ها، ارزیابی اندرکنش نگهداری با توده‌سنگ امری ضروریست. این مهم با استفاده از روش همگرایی- هم‌جواری قابل انجام است [۱]. روابط همگرایی- هم‌جواری در شکل اصلی آن، رابطه بین فشار شعاعی داخلی و تغییرمکان شعاعی روی مرزهای تونل دایره‌ای در حال حفاری در یک محیط همسانگرد، همگن و الاستوپلاستیک در معرض تنش‌های برجای هیدرولاستاتیک است. پروفیل تغییر شکل طولی تونل<sup>۱</sup> (LDP)، منحنی عکس‌العمل زمین<sup>۲</sup> (GRC) و منحنی مشخصه‌ی سیستم نگهداری<sup>۳</sup> (SCC) اجزاء اصلی روش همگرایی- هم‌جواری هستند [۳]. محققان دیگری نیز در معرفی اجزاء و پیشرفت روش همگرایی- هم‌جواری نقش داشته‌اند [۴].

## ۲- پروفیل تغییر شکل طولی تونل

این پروفیل تغییرات جابجایی محیط تونل در امتداد محور طولی آن است که به منظور ارزیابی پایداری و تعیین محل نصب نگهداری رسم می‌گردد.

شکل ۱ مقطع طولی از تونل بدون پوشش با شعاع  $R$  در مجاورت سینه‌کار را نشان می‌دهد. جابجایی‌ها در توده‌سنگ روابط متعددی برای رسم LDP پیشنهاد شده است.

سینه‌کار در محیط‌های الاستیک پیشنهاد کرد [۳]:

$$\frac{u_r}{u_r^M} = 0.25 + 0.75 \left[ 1 - \left( \frac{0.75}{0.75 + \frac{x}{R}} \right)^2 \right] \quad (1)$$

رابطه (۱) برای مقادیر مثبت  $x$  کاربرد دارد که در شکل ۱-۱ رسم گردیده است.

چرن<sup>۵</sup> و همکاران (۱۹۹۸) مقادیر همگرایی را در مجاورت سینه‌کار یک تونل در پروژه مغار نیروگاه مینگتام<sup>۶</sup> اندازه‌گیری کردند (شکل ۱-۱). بر اساس این داده‌ها، هوک (۱۹۹۹) بهترین رابطه‌ی علمی منطبق را به شرح زیر بین جابجایی شعاعی تونل و فاصله تا سینه‌کار پیشنهاد کرد [۳]:

$$\frac{u_r}{u_r^M} = \left[ 1 + \exp \left( \frac{-x/R}{1.1} \right) \right]^{-1.7} \quad (2)$$

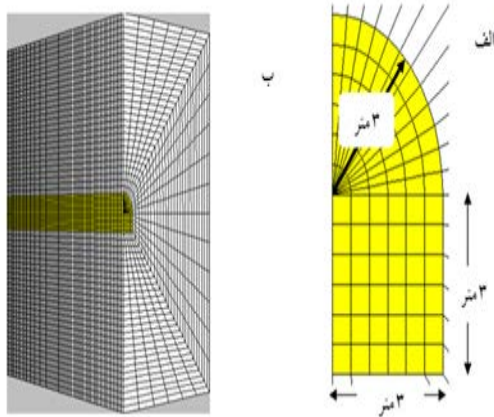
این رابطه برای توده‌های دارای رفتار الاستوپلاستیک کاربرد دارد. همچنین هر دو رابطه برای تونل‌های دایروی بدون پوشش و شرایط تنش هیدرولاستاتیک زمین ارائه شده است.

تودهسنگ (MPa)،  $\varphi$ : زاویه اصطکاک داخلی تودهسنگ،  $\sigma_{\text{cm}}$ : مقاومت فشاری تودهسنگ (MPa)،  $\sigma_t$ : مقاومت کششی تودهسنگ (MPa)، K: مدول حجمی تودهسنگ، G: مدول برشی تودهسنگ است.

نسبت پواسون تودهسنگ (v) در همه موارد مقدار ۰/۲۵ در نظر گرفته شد. وزن مخصوص تودهسنگ  $MN/m^3$  در نظر گرفته شد. لازم به ذکر است که در این دستنوشته جهت رعایت اختصار فقط نتایج مربوط به عمق ۱۰۰ متر ارائه شده است.

#### ۴- روش انجام کار

مدل‌سازی پروفیل تغییرشکل طولی در شرایط گوناگون ناشی از ترکیب پارامترهای معرفی شده در مرحله قبل، توسط نرم‌افزار FLAC<sup>3D</sup> انجام گرفت [۸]. در مجموع ۸۶۴ مدل عددی ۳ بعدی ساخته شد. مدل‌ها در شرایط کرنش صفحه‌ای و تقارن محوری ساخته شد (شکل ۲). ابعاد مناسب برای تمام مدل‌ها انتخاب (۳۰\*۶۰\*۵۰ m) و شرایط مرزی مبتنی بر جابجایی در مرزهای افقی و تحتانی مدل و تنش روباه برای مرز فوقانی اعمال شد.



شکل ۲: (الف) مقطع عرضی تونل (ب) نمایی سه‌بعدی از مدل ساخته شده

پس از رساندن مدل به تعادل اولیه، ابتدا تونل به اندازه ۳۰ متر به صورت تمام مقطع حفر و نگهداری نصب شد. سپس پیش روی تونل با طول حفاری متفاوت از ۱ الی ۵ متر متناظر با هر حالت خاص، مدل شد. نگهداری بکار رفته در مدل‌سازی از نوع بتن پاشیده یا بتنی در نظر گرفته شد که با المان شل<sup>۹</sup> مدل شد. محدوده تغییرات مدول یانگ بتن بین ۱۴Gpa تا ۲۸Gpa انتخاب و مقدار ضخامت بتن بین ۰/۱۵ و ۰/۴ متر و نسبت پواسون بتن در تمام شرایط ثابت و برابر ۰/۲۵ در نظر گرفته شد. لذا سختی نرمال نگهداری ( $K_{SN}$ ) با توجه به مقادیر مربوط

دادند. به این صورت که بر روی پروفیل تغییرشکل طولی تونل دارای نگهداری منتج از مدل‌سازی عددی، نقاطی را در نظر گرفته و با استفاده از محاسبات آماری روابطی برای نقاط ارائه دادند [۶].

هدف این تحقیق ارائه روش رسم پروفیل تغییر شکل طولی تونل دارای نگهداری که آن را SLDP<sup>۸</sup> می‌نامیم، است. به‌منظور افزایش دامنه کاربرد مسئله، مقطع تونل غیردایروی، محیط الاستوپلاستیک و میدان تنش برجا هیدرостиاتیک و غیرهیدروليستیک در نظر گرفته شده است. همچنین مقایسه‌ای بین منحنی SLDP و LDP صورت گرفته و ویژگی‌های منحنی SLDP بیان می‌گردد.

#### ۳- خصوصیات ژئومکانیکی مدل

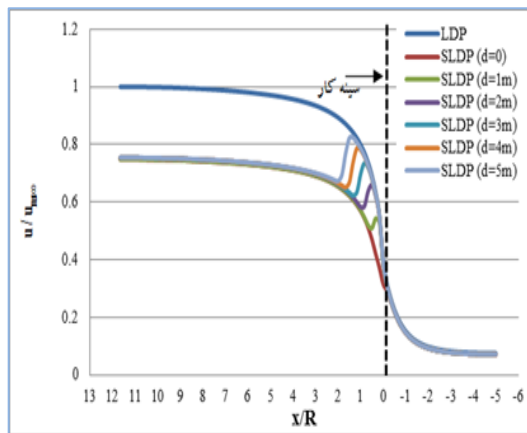
برای حل مسئله، تونلی با مقطع D شکل که در محیط دارای رفتار الاستوپلاستیک قرار دارد، فرض شد (شکل ۳). سه عمق ۱۰۰، ۲۰۰ و ۳۰۰ متر و همچنین سه میدان تنش‌های برجا دارای نسبت تنش‌های افقی به قائم برابر ۰/۱۵ و ۰/۱۵ در نظر گرفته شد.

تودهسنگ‌هایی که RMR آن‌ها در ۴۰ تا ۷۰ بازه قرار دارد، دارای کیفیت متوسط بوده و نیاز به نگهداری بدون تمیه‌دادات و پیزه دارند. تودهسنگ‌های دارای RMR بزرگ‌تر از ۷۰ عموماً نیازی به نگهداری ندارند و تودهسنگ‌های دارای RMR کوچک‌تر از ۴۰ جزء زمین‌های سست و ریزشی هستند که بایستی با روش‌های خاص حفر و نگهداری گردند [۷]. بنابراین خصوصیات ژئومکانیکی انتخابی برای تودهسنگ مربوط به چهار نوع تودهسنگ دارای RMR از ۴۰ تا ۷۰ است. با توجه به اینکه چنین تودهسنگ‌هایی دارای رفتار الاستوپلاستیک است، از معیار شکست موهر-کولمب در حل مدل عددی استفاده شد. خصوصیات ژئومکانیکی لازم، از روابط موجود بین RMR و این خصوصیات به دست آمد:

$c = 0.005(RMR - 1)$	(Bieniawski, 1989)	[۱]	(۱)
$\varphi^{(0)} = 0.5RMR + 4.5$	(Bieniawski, 1989)	[۱]	(۲)
$\sigma_{\text{cm}} = 0.5e^{0.008RMR}$	(Trueman, 1988)	[۱]	(۳)
$E_n = 0.16RMR$ $RMR < 50$	(Rahmannejad&masoumi, 2007)	[۱-۱]	(۴)
$E_n = 0.052(RMR - 50)^2 + 8$ , $RMR \geq 50$		[۱]	(۵)
$\sigma_t = \frac{\sigma_{\text{cm}}}{10}$		[۱]	(۶)
$K = \frac{E_n}{3(1-2\nu)}$		[۱]	(۷)
$G = \frac{E_n}{2(1+\nu)}$		[۱]	(۸)

که  $E_n$ : مدول تغییرشکل تودهسنگ (GPa)، c: چسبندگی

می‌شود. طبق شکل در چنین سنگ‌های ضعیفی مقدار جابجایی نهایی روی محور قائم در این حالت نسبت به شکل ۴ تقریباً نصف شده است که تأثیر نگهداری را در ایجاد پایداری در سنگ‌های ضعیف و بر روی منحنی پروفیل تغییرشکل طولی نشان می‌دهد. بعلاوه نصب نگهداری منجر به افت کل منحنی (کاهش جابجایی‌ها) به سمت پائین نسبت به حالت بدون نگهداری است که تأثیر آن حتی در جلوی سینه کار نیز مشاهده می‌شود. همچنین کوهان ایجاد شده در فاصله بدون نگهداری ویژگی دیگر این منحنی است.



شکل ۴: پروفیل SLDP برای فواصل مختلف بدون نگهداری ( $d=0$ ) و  $RMR=70$

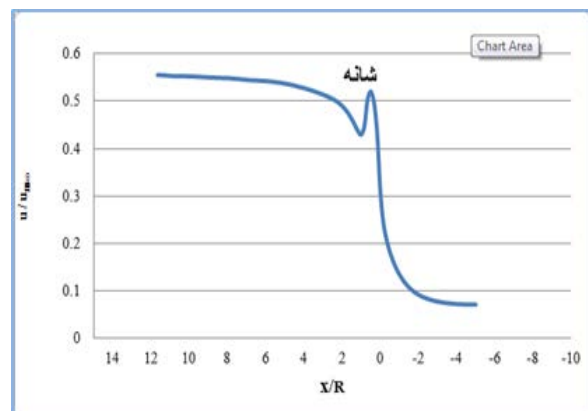
از مقایسه نمودارهای SLDP به دست آمده مشخص شد میزان جابجایی‌ها در تونل قبل و بعد از نصب نگهداری و همچنین میزان خمش حداکثر در فاصله بدون نگهداری متأثر از RMR است. به عبارت دیگر، افزایش RMR باعث کاهش میزان جابجایی‌ها و خمش حداکثر در فاصله بدون نگهداری می‌گردد.

همچنین میزان خمش حداکثر در فاصله بدون نگهداری و تغییرشکل نهایی پس از نصب نگهداری متأثر از دو عامل فاصله بدون نگهداری و سختی نگهداری است. نکته جالب توجه دیگر در مورد منحنی‌های SLDP این واقعیت است که در تمام حالات میزان جابجایی تونل در فاصله فاقد نگهداری بیش از جابجایی نهایی تونل در فاصله دور از سینه کار است که لزوم توجه به پایداری تونل در این فاصله، مخصوصاً اگر پیشروع تونل دچار وقفه شود را ضروری می‌نماید.

به مدول یانگ و ضخامت بتن، سختی نرمال در بازه ۱۰۰۰ MPa تا ۴۰۰۰ MPa فرض شد [۱۱].

## ۵- محاسبه پروفیل تغییرشکل طولی تونل نگهداری (SLDP) شده

پس از اجرای مدل‌های عددی، به منظور رسم پروفیل تغییرشکل طولی تونل نگهداری شده (SLDP)، جابجایی شعاعی مربوط به تمام گره‌های موجود در تاج، در امتداد محور تونل استخراج و نمودارهای SLDP رسم گردید. همان‌طور که در شکل ۳ به صورت شماتیک مشاهده می‌شود، پروفیل تغییرشکل طولی مربوط به تونل نگهداری شده نیز نموداری شبیه به LDP است با این تفاوت که در فاصله بدون نگهداری یک‌خمش اتفاق می‌افتد و نمودار در این فاصله حالت کوهانی شکل<sup>۱</sup> به خود می‌گیرد. در حالتی که فاصله فاقد نگهداری وجود نداشته باشد ( $d=0$ ، کوهان منحنی از بین رفته و به همان منحنی LDP تبدیل گشته که دارای جابجایی نهایی کمتری است. در شکل ۴ پروفیل SLDP برای فواصل مختلف بدون نگهداری ( $d$ ) در شرایط  $RMR=70$ ، نسبت تنش افقی به قائم برابر  $0.5/5$  و عمق  $100$  متر ارائه شده است. نقطه‌ی صفر محور افقی نشانگر محل سینه کار و قسمت منفی و مثبت به ترتیب نشانگر جلوی سینه کار (حفر نشده) و پشت سینه کار (حفر شده) است. به علت کیفیت مناسب توده‌سنگ تفاوت جابجایی نهایی در دو حالت با و بدون نگهداری فاحش نیست.



شکل ۳: پروفیل تغییرشکل طولی (SLDP)

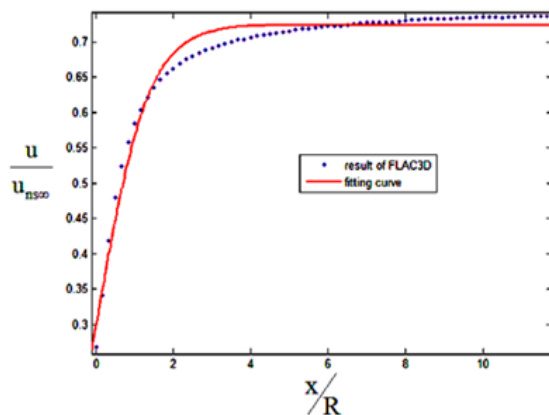
پروفیل تغییرشکل طولی تونل دارای نگهداری در شرایط مثال بالا ولی دارای کیفیت ضعیف ( $RMR=40$ ) در شکل ۵ مشاهده

## ۶- ارائه رابطه برای نمودار SLDP

برای یافتن رابطه‌ای برای نمودارهای SLDP از نرم‌افزار مطلب استفاده گردید. با توجه به اینکه نمودار SLDP دارای شکل خاصی است که برازش مناسبی بر روی آن صورت نمی‌گیرد، لذا ابتدا این نمودار به قسمت‌های مختلفی تقسیم شد. از قسمت مربوط به جلوی سینه کار (حفر نشده) صرف‌نظر کرده و فقط روابط قسمت‌های مربوط به پشت سینه کار تونل (حفر شده) به دست آمد. مراحل کار در ادامه شرح داده شده است.

### ۶-۱- ارائه رابطه برای نمودار SLDP با فاصله بدون نگهداری صفر ( $d=0$ )

نمودار SLDP در حالتی که فاصله‌ی بدون نگهداری وجود ندارد (d=0) دارای شکل مشابه LDP است (شکل ۶)



شکل ۶: منحنی SLDP منتج از مدل‌سازی عددی و منحنی برآذش شده برای حالت (d=0)

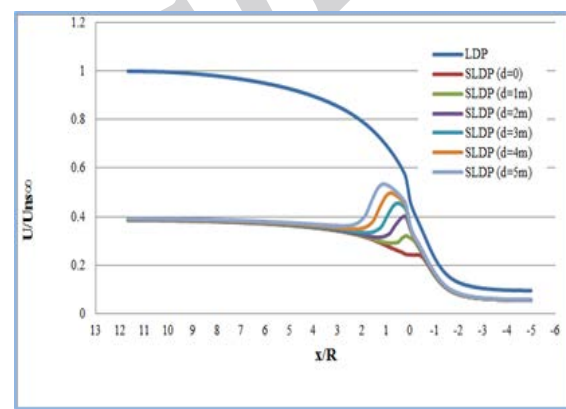
بر اساس برآذش‌های مختلفی که بر روی داده‌های حاصل از مدل‌سازی انجام شد، رابطه (۱۲) که مشابه رابطه هوك رابطه است، با ضریب همبستگی ۰/۹۵ انتخاب شد [۱۲]:

$$\frac{u}{u_{ns\infty}} = \left[ c + \exp\left(\frac{-x/R}{a}\right) \right]^b \quad (12)$$

$u$ : جابجایی نهایی در حالت بدون نگهداری،  $u_{ns\infty}$ : جابجایی در فاصله‌ی  $x$  از سینه کار تونل،  $a$ : فاصله از سینه کار تونل،  $R$ : شعاع قوس فوقانی تونل. ضرایب  $a$ ,  $b$  و  $c$  از جداول زیر به دست می‌آیند.

جدول ۱: مقادیر ضرایب  $a$  و  $b$  در رابطه (۱۲) برای عمق ۱۰۰ متر [۱۲]

k	K <sub>SN</sub> (MPa)	a	d*	b
0/5	1000			10.85
	2000			12.10
	3000	$a = \frac{d^*}{RMR^{1.7}}$	1111	-1/23
	4000		1141	
1	1000			30.22
	2000	$a = \frac{d^*}{RMR^2}$	33.91	
	3000		36.20	-1/50
	4000		38.04	
1/5	1000			138/8
	2000	$a = \frac{d^*}{RMR^{1.3}}$	145/2	
	3000		149/9	-2/15
	4000		146/4	



شکل ۵: پروفیل تغییرشکل طولی تونل دارای نگهداری برای

جدول ۲: مقادیر ضریب c در رابطه (۱۲) برای عمق ۱۰۰ متر [۱۲]

k	RMR	K <sub>SN</sub> (GPa)			
		1	2	3	4
0/5	4.0	2/18	2/6	3	3/25
	5.0	1/64	1/87	2/0.5	2/22
	6.0	1/4	1/55	1/63	1/72
	7.0	1/28	1/33	1/37	1/41
1	4.0	2/84	3/54	4	4/35
	5.0	1/95	2/3	2/58	2/8
	6.0	1/5	1/63	1/75	1/86
	7.0	1/24	1/28	1/32	1/35
1/5	4.0	2/67	3/29	3/72	4/0.8
	5.0	2/0.4	2/56	2/95	2/28
	6.0	1/55	1/79	1/97	2/12
	7.0	1/28	1/38	1/44	1/48

(RMR=40) سنگ‌های ضعیف

$$\frac{u_i}{u_{ns\infty}} = a \times \exp\left(\frac{d}{R}\right) + c \quad (13)$$

$u_i$ : جابجایی در نقطه‌ی  $i$  است که  $i=1$ : مربوط به لبه نگهداری،  $i=2$ : مربوط به خمث حداکثر،  $i=1$ : مربوط به سینه کار تونل است.  $u_{ns\infty}$ : جابجایی نهایی تونل فاقد نگهداری،  $d$ : طول فاصله‌ی بدون نگهداری،  $R$ : شاعع قوس تونل است. مقادیر ضرایب  $a$  و  $c$  از جداول ۳ به دست می‌آید.

جدول ۳: مقادیر ضریب  $a$  در رابطه (۱۳) برای لبه نگهداری ( $i=1$ ) در عمق ۱۰۰ متر [۱۲]

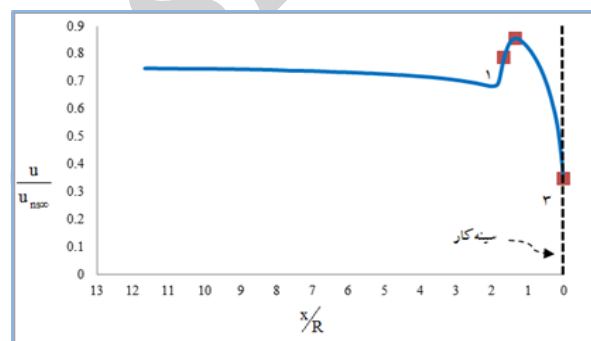
RMR					
	۴۰	۵۰	۶۰	۷۰	
$k=0.5$	۱	-۰/۲۵	-۰/۳۳	-۰/۳۸	-۰/۴۳
	۲	-۰/۲۳	-۰/۳	-۰/۳۶	-۰/۴۲
	۳	-۰/۲	-۰/۲۸	-۰/۳۵	-۰/۴۱
	۴	-۰/۱۹	-۰/۲۷	-۰/۳۳	-۰/۴
$i=1$	۱	-۰/۲۵	-۰/۳۶	-۰/۴۶	-۰/۴۸
	۲	-۰/۲۱	-۰/۳	-۰/۳۹	-۰/۴۷
	۳	-۰/۱۸	-۰/۲۷	-۰/۳۴	-۰/۴۶
	۴	-۰/۱۵	-۰/۲۴	-۰/۳۱	-۰/۴۴
$k=1$	۱	-۰/۲۴	-۰/۳۶	-۰/۴۸	-۰/۵۵
	۲	-۰/۱۸	-۰/۲۹	-۰/۴۱	-۰/۴۸
	۳	-۰/۱۵	-۰/۲۴	-۰/۳۵	-۰/۴۳
	۴	-۰/۱۲	-۰/۲۱	-۰/۳۱	-۰/۴۹

جدول ۴: مقادیر ضریب  $a$  در رابطه (۱۳) برای نقطه خمث حداکثر ( $i=2$ ) در عمق ۱۰۰ متر [۱۲]

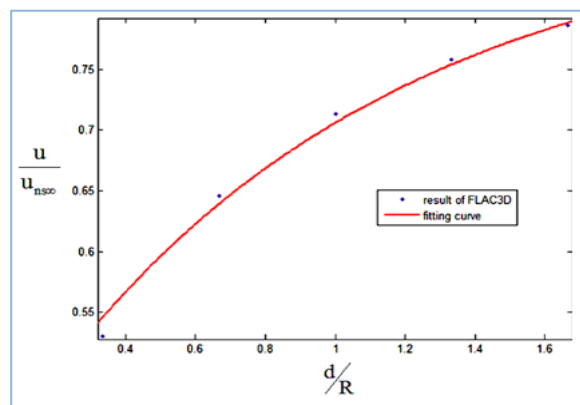
RMR	$i=2$	$k=0.5$	$k=1$	$k=1.5$
۴۰		-۰/۴	-۰/۵۴	-۰/۶۲
۵۰		-۰/۴۳	-۰/۵۹	-۰/۶۶
۶۰		-۰/۴۸	-۰/۵۸	-۰/۷
۷۰		-۰/۵۳	-۰/۶۲	-۰/۶۸

## ۶-۲- ارائه رابطه برای SLDP با فواصل متفاوت بدون نگهداری (d#0)

در حالتی که فاصله بدون نگهداری وجود دارد، در این فاصله خمثی به شکل کوهان در نمودار SLDP اتفاق می‌افتد. بهمنظور یافتن رابطه مناسب برای این قسمت از نمودار SLDP به صورت زیر بر روی آن در نظر گرفته شد (شکل ۷): نقطه ۱: لبه نگهداری، نقطه ۲: محل خمث حداکثر روی کوهان و نقطه ۳: سینه کار تونل. برآذش‌های صورت گرفته نشان داد که در هر کدام از نقاط ۱، ۲ و ۳ تغییرات نسبت تغییرشکل در تونل نگهداری شده به تغییرشکل نهایی تونل فاقد نگهداری (u/u<sub>ns∞</sub>) بر حسب تغییرات نسبت طول نگهداری نشده به شاعع قوس تونل (d/R)، از یک معادله نمایی (رابطه ۱۳) با ضریب همبستگی بزرگ‌تر از ۰/۹۲ پیروی می‌کند (شکل ۸).



شکل ۷: منحنی (SLDP) برای فاصله‌ی بدون نگهداری ۵ متر (d=5m) در شرایط تنش هیدروستاتیک و RMR=70 و K<sub>SN</sub>=1000MPa و عمق ۱۰۰ متر



شکل ۸: منحنی نمایی برآذش شده بر تغییرات u/u<sub>ns∞</sub> بر حسب مربوط به لبه نگهداری در شرایط تنش هیدروستاتیک، ۱۰۰m و عمق K<sub>SN</sub>=1000MPa و RMR=70

جدول ۶: مقادیر ضریب c در رابطه (۱۳) برای عمق ۱۰۰ متر [۱۲]

		$c = e \times K_{SN}^{0.1} + f$				
		RMR <sub>e</sub>	RMR <sub>f</sub>	RMR <sub>g</sub>	RMR <sub>v</sub>	
i=1	k=0.5	e f	-0/44 1/36	-0/43 1/52	-0/33 1/43	-0/19 1/23
		e f	-0/48 1/33	-0/57 1/71	-0/57 1/87	-0/22 1/32
	k=1	e f	-0/47 1/23	-0/65 1/74	-0/71 2/04	-0/53 1/85
		e f	-0/25 1/11	-0/26 1/26	-0/22 1/28	-0/13 1/18
	k=1.5	e f	-0/27 0/99	-0/26 1/23	-0/27 1/27	-0/22 1/22
		e f	-0/16 0/88	-0/23 1/1	-0/29 1/34	-0/15 1/18
		e f	-0/12 0/62	-0/10 0/62	-0/08 0/58	-0/03 0/46
		e f	-0/05 0/35	-0/06 0/42	-0/05 0/42	-0/02 0/39
i=2	k=0.5	e f	-0/16 0/88	-0/23 1/1	-0/29 1/34	-0/15 1/18
		e f	-0/12 0/62	-0/10 0/62	-0/08 0/58	-0/03 0/46
	k=1	e f	-0/05 0/35	-0/06 0/42	-0/05 0/42	-0/02 0/39
		e f	-0/02 0/24	-0/04 0/3	-0/04 0/32	-0/01 0/27

جدول ۷: مقادیر ضرایب a و c در رابطه (۱۴) برای عمق ۱۰۰ متر [۱۲]

k	RMR	a	C			
			$K_{SN}=1\text{GPa}$	$K_{SN}=2\text{GPa}$	$K_{SN}=3\text{GPa}$	$K_{SN}=4\text{GPa}$
0.5	40	0/78	-0/213	-0/213	-0/313	-0/313
	50	0/78	-0/113	-0/113	-0/147	-0/147
	60	0/78	-0/013	-0/013	-0/047	-0/047
	70	0/78	0/053	-0/053	-0/053	-0/020
1	40	0/5	.	.	-0/033	-0/067
	50	0/6	0/1	.	-0/033	-0/033
	60	0/7	0/1	0/033	0/033	.
	70	0/75	0/05	0/05	0/05	0/05
1.5	40	0/35	0/083	0/05	0/05	0/017
	50	0/6	0/033	-0/067	-0/067	-0/067
	60	0/62	0/113	0/08	0/047	0/013
	70	0/68	0/12	0/087	0/053	0/053

جدول ۵: مقادیر ضریب a در رابطه (۱۳) برای سینه کار تونل (i=۳) در عمق ۱۰۰ متر [۱۲]

		RMR				
		40	50	60	70	
i=3	k=0.5	1	-0/09	-0/05	-0/03	-0/01
		2	-0/12	-0/07	-0/04	-0/02
	k=1	3	-0/13	-0/08	-0/05	-0/02
		4	-0/13	-0/09	-0/05	-0/03
	k=1.5	1	-0/09	-0/07	-0/04	-0/03
		2	-0/11	-0/08	-0/06	-0/04
		3	-0/12	-0/09	-0/06	-0/045
		4	-0/13	-0/1	-0/07	-0/05

### ۶-۳- تعیین مختصات متناظر با محور افقی برای خمینه حداکثر

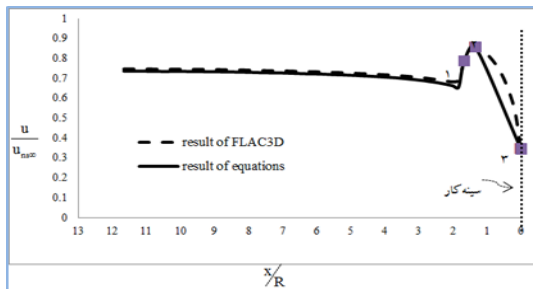
همان‌طور که قبلاً اشاره شد محل سینه کار تونل همان نقطه‌ی صفر محور افقی نمودار SLDP و طول بدون نگهداری (d)، همان مختصات متناظر با لبه‌ی نگهداری است. از انجایی که موقعیت لبه نگهداری مشخص است، لذا تنها مختصات متناظر با محور افقی برای نقطه خمینه حداکثر بایستی مشخص گردد.

$$\frac{x}{R} = a \times \left( \frac{d}{R} \right) + c \quad (14)$$

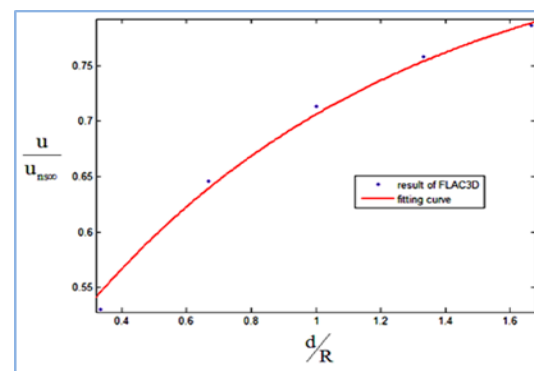
x: فاصله‌ی نقطه‌ی خمینه حداکثر از سینه کار تونل است.

ضرایب a و c از جدول زیر به دست می‌آید.

تحقیقات انجام‌شده نشان داد که تغییرات نسبت فاصله از سینه کار تونل به شعاع قوس فوقانی تونل برای نقطه خمینه حداکثر (x/R) برحسب تغییرات نسبت طول نگهداری نشده به شعاع قوس فوقانی تونل (d/R)، از یک معادله چندجمله‌ای درجه‌یک (رابطه ۱۴) با ضریب همبستگی بزرگ‌تر از ۰/۹۵ پیروی می‌کند (شکل ۹).



شکل ۱۰: مقایسه نمودار SLDP از حل عددی و منتج از روابط پیشنهادی



شکل ۹: منحنی بازاش شده بر تغییرات  $x/R$  بر حسب  $d/R$  مربوط به خمس حداکثر در شرایط تنش هیدروستاتیک و  $RMR=70$  و  $K_{SN}=1000\text{ MPa}$  و عمق ۱۰۰ متر

## ۷- روش استفاده از روابط ارائه شده برای رسم SLDP نمودار

برای رسم نمودار SLDP در حالت وجود فاصله‌ی بدون نگهداری ( $d=0$ )، در ابتدا با رابطه (۱۲)، نمودار SLDP در حالتی که فاصله بدون نگهداری وجود ندارد ( $d=0$ ) را رسم نموده، بعد با استفاده از رابطه (۱۳) میزان جابجایی نقاط لبه‌ی نگهداری، خمس حداکثر و سینه‌کار تونل را به دست آورده و سپس توسط رابطه (۱۴) مختصات متناظر با محور افقی (فاصله از سینه‌کار) را برای نقطه خمس حداکثر تعیین می‌شود. در گام بعد با داشتن مختصات نقاط سه‌گانه معرفی شده نمودار SLDP، منحنی را رسم نموده و بخشی از نمودار که مربوط به حالت بدون نگهداری است را حذف کرده تا منحنی SLDP به دست آید. در شکل ۱۰ برای شرایط تنش هیدروستاتیک، فاصله بدون نگهداری برابر با ۵ متر،  $RMR=70$ ،  $K_{SN}=1000\text{ MPa}$  و عمق ۱۰۰ متر منحنی SLDP با روش پیشنهادی و مدل‌سازی عددی ارائه شده که مقایسه آن با حل عددی نشانگر کارایی روش پیشنهادی رسم منحنی SLDP است.

**۸- نتیجه‌گیری**  
 پروفیل تغییرشکل طولی نمایانگر تغییرات جابجایی در محیط تونل در امتداد محور طولیان است. بر اساس این ابزار، طراح می‌تواند لزوم نصب نگهداری و موقعیت مناسب آن را تعیین کند. در صورت نصب نگهداری شکل منحنی مزبور و کمیت آن تغییر می‌نماید. روابط رایج تعیین LDP تأثیر وجود نگهداری را بر منحنی مزبور برای تونل‌های در حال اجرا در نظر نمی‌گیرند. تحقیقات اندک موجود برای رسم پروفیل تغییرشکل طولی تونل دارای نگهداری نیز برای شرایط محدودی صادق است. در این تحقیق تغییرات کیفی و کمی پروفیل تغییرشکل طولی تونل غیردایروی دارای نگهداری (SLDP) در محیط الاستوپلاستیک، تحت شرایط تنش غیرهیدروستاتیک و زمین باکیفیت متفاوت ازنظر امتیاز  $RMR$ ، بررسی شد. چنانچه نگهداری در لبه سینه‌کار نصب گردد، روند منحنی مشابه منحنی LDP، ولی مقدادر جابجایی در طول منحنی دستخوش افت شده که میزانان بسته به سختی نگهداری و کیفیت توده‌سنگ ( $RMR$ ) است. در شرایط وجود فاصله بدون نگهداری، منحنی جابجایی در این فاصله دچار افزایش شده و حالت کوهانی شکل پیدا می‌کند. میزان جابجایی در فاصله بدون نگهداری در شرایط خاص می‌تواند قابل توجه بوده و بیش از جابجایی نهایی تونل باشد.

جهت رسم منحنی در تمام فاصله پشت سینه‌کار روابطی ارائه شده که موقعیت نقاط شاخص پروفیل را در سینه‌کار تونل، محل کوهان، لبه نگهداری و در فاصله دور از سینه‌کار ارائه می‌دهد.

## -۹- مراجع

determination of critical factor of safety for underground rock caverns. School of Civil and Environmental Engineering, Nanyang Technological University, 639798 Singapore, Singapore.

[10] Rahmanejad, R., Masumi, H., 2007. New Empirical Relations for Determining of Rock Mass Modulus of Deformation, proceeding of 2nd Inter. conference of Design and Building of Underground Constructions, May 22-24, Ekaterenburg, Russia.

[11] هوك و براون. سازه‌های زیرزمینی در سنگ، ترجمه: احمد فهیمی‌فر. (۱۳۷۶) تهران، آزمایشگاه فنی و مکانیک خاک راه و ترابری.

[12] علی حسین علی‌نژادی، رضا رحمان نژاد (۱۳۹۲). تحلیل پروفیل تغییرشکل طولی تونل نگهداری شده (SLDP) در محیط‌های الاستوپلاستیک. پایان‌نامه کارشناسی ارشد، بخش مهندسی معدن، دانشگاه شهید بهمن کرمان.

[13] ironmental Protection (pp. 27-34). Albena: International Scientific GeoConference. ISBN: 9549181812 & 9789549181814.

[14] Jalali, S. E., & Forouhandeh, S. F. (2011, June). Reliability Estimation of Auxiliary Ventilation Systems in Long Tunnels during Construction. Safety Science, 49(5), 664-669. DOI:10.1016/j.ssci.2010.12.015.

[15] Singh, B., & Goel, R. K. (2006). Tunnelling in Weak Rocks. (J. A. Hudson, Ed.) Amsterdam: Elsevier B.V. ISBN-13:978-0-08-044987-6.

[1] Oreste, P. P. (2003). Analysis of Structural Interaction in Tunnels using the Convergence-Confinement Approach, Tunneling and Underground Space Technology, vol. 18, pp. 347-363.

[2] Antiga, A., Chiorboli, M., & Coppola, P. (2007). Convergence-Confinement Method Limit of Application of the Closed form Solutions Compared with Numerical Models. In ECCOMAS Thematic Conference on Computational Methods in Tunnelling (EURO: TUN 2007). Vienna.

[3] Carranza-Torres, C. and Fairhurst, C. (2000). Application of Convergence-Confinement Method of Tunnel Design to Rock Masses that Satisfy Hoek-Brown Failure Criterion. Tunneling and Underground Space Technology, Vol.15, No. 2, pp.187-213.

[4] AFTES, French Association for Underground Works. (2001). Recommendation on the Convergence-Confinement Method. Paris: AFTES

[5] Vardakos, S. (2007). Back-analysis Method for Optimal Tunnel Design. Blacksburg, Virginia. PHD thesis.

[6] محمد جهانپوری، رضا رحمان نژاد (۱۳۹۰). تحلیل پروفیل تغییرشکل طولی تونل نگهداری شده (SLDP). پایان‌نامه کارشناسی ارشد، بخش مهندسی معدن، دانشگاه شهید بهمن کرمان.

[7] Harrison, J. P., & Hudson, J. A. (2000). Engineering rock mechanics-an introduction to the principles. Access Online via Elsevier.

[8] Itasca Consulting Group, 2000; FLAC3D User's, Version 2.

[9] Wengang, Z., Anthony, T. C. (0). Reliability assessment on ultimate and serviceability limit state and

1 Longitudinal Deformation Profile

2 Ground Reaction Curve

3 Support Characteristic Curve

4Panet

5Chern

6Mingtam

7SotiriosVardakos

8 Supported Longitudinal Deformation Profile

9 Shell

10Hump shape